

LANCÉ

Servicio Clima Espacial

Reporte Semanal

<http://www.sciesmex.unam.mx>



AEM
AGENCIA ESPACIAL MEXICANA



CENAPRED
CENTRO NACIONAL DE
PREVENCIÓN DE DESASTRES

Reporte semanal: del 5 al 11 de noviembre de 2021

CONDICIONES DEL SOL

Regiones Activas (RA): 3

Fulguraciones: 1

Hoyos coronales: 4, de los cuales 1 está cercano al ecuador.

EMC: 4 limbo (no dirigidas a la Tierra).

CONDICIONES DEL MEDIO INTERPLANETARIO

Esta semana no se registró corriente de interacción.

CONDICIONES DE MAGNETÓSFERA

Índice K local: No se registró actividad geomagnética significativa en la semana.

Índice Dst: No se registró actividad geomagnética significativa en la semana.

CONDICIONES DE LA IONOSFERA

Según los datos locales, se observaron desviaciones positivas de TEC durante la semana. Los datos globales confirman esta tendencia. Estas variaciones no son significativas

CONDICIONES DE RAYOS CÓSMICOS SOBRE MÉXICO

???

PRONÓSTICOS

Viento solar:

- EL modelo WSA-ENLIL pronostica el arribo de una corriente de viento solar rápido, pronóstico consistente con el hoyo coronal ecuatorial reportado.

Fulguraciones solares:

- Es probable que se presenten fulguraciones clase C o mayores los próximos días.

Tormentas ionosféricas:

- Probabilidad de perturbaciones geomagnéticas moderadas.

Tormentas geomagnéticas:

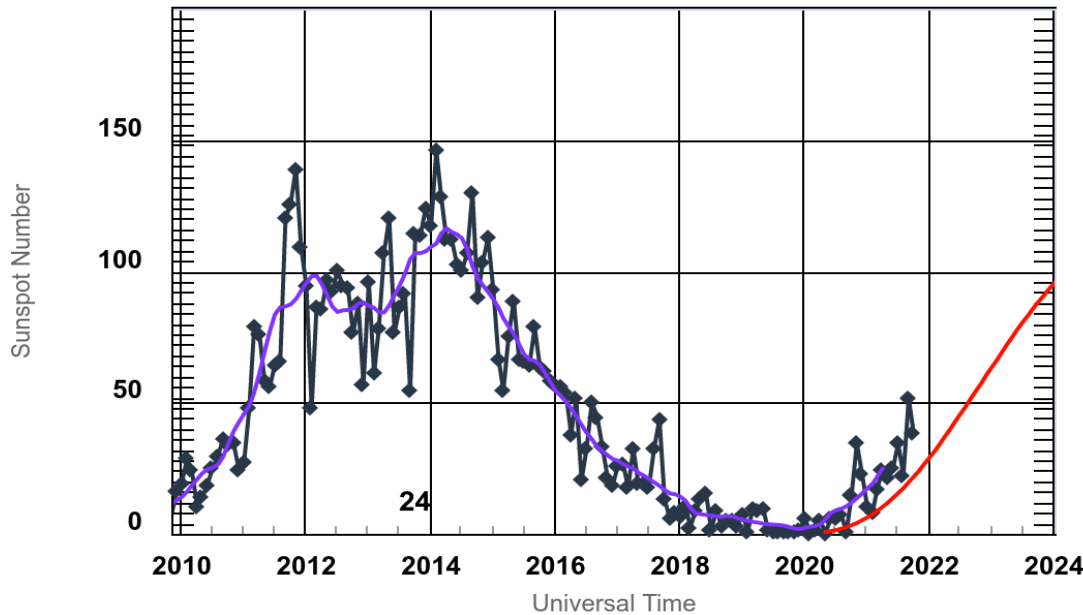
- Posible actividad geomagnética moderada.

Tormentas de radiación solar:

- Probabilidad de tormentas menores de radiación.

Ciclo de manchas solares y la actividad solar

ISES Solar Cycle Sunspot Number Progression



◆ Monthly Values — Smoothed Monthly Values — Predicted Values
Space Weather Prediction Center

La figura muestra el conteo del número de manchas solares desde enero del 2010.

Entre más manchas solares presente el Sol, es mayor la posibilidad de que ocurra una tormenta solar.

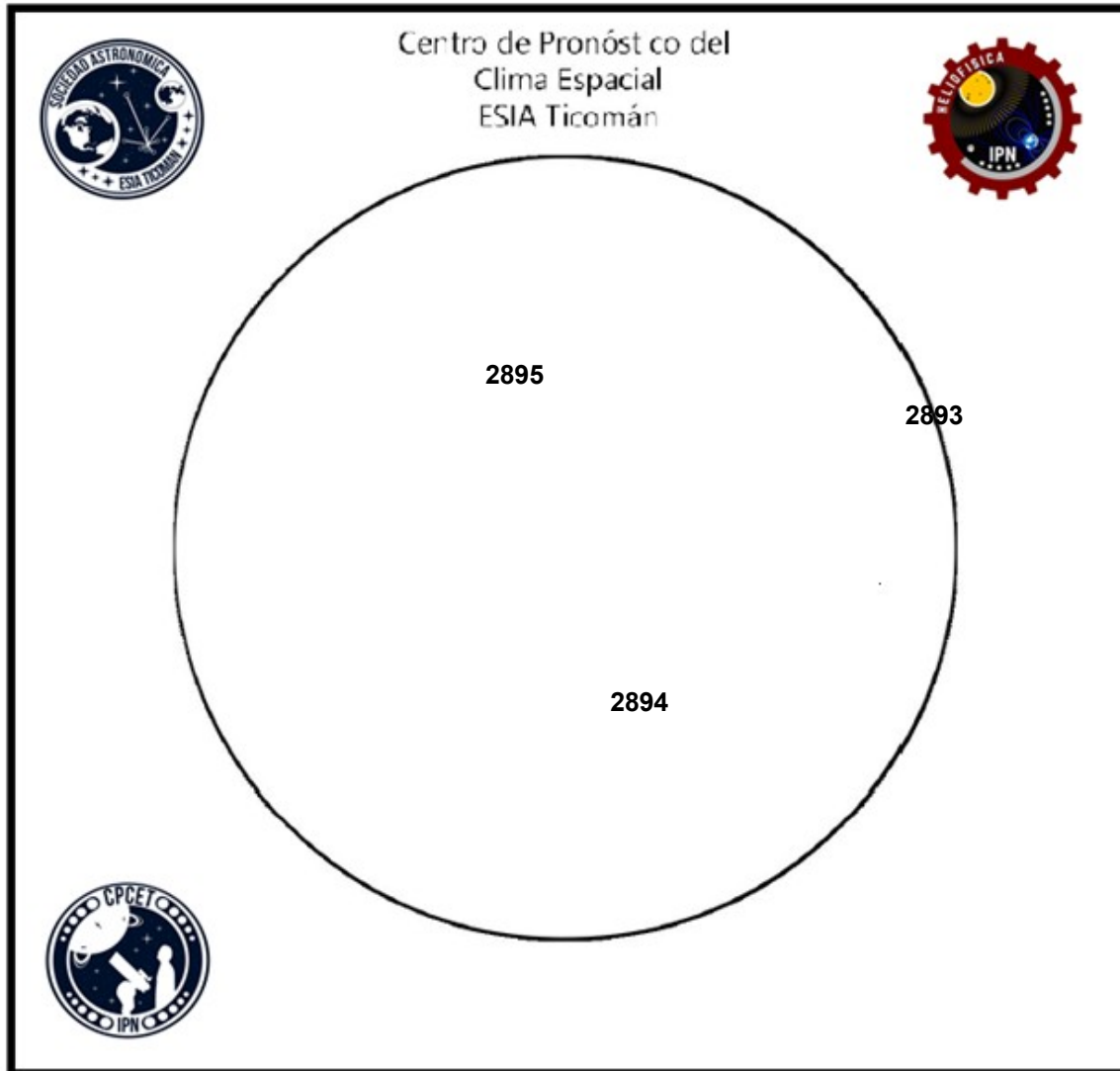
Nos encontramos en la fase ascendente del ciclo solar 25 con el aumento progresivo de manchas solares.

<http://www.swpc.noaa.gov/products/solar-cycle-progression>

Número de Wolf

LANCE

Laboratorio Nacional
de Clima Espacial



El número de Wolf es un valor que permite evaluar numéricamente la actividad solar mediante el conteo de manchas solares ubicadas sobre la superficie del Sol. Este se calcula a partir de la fórmula desarrollada por Rudolf Wolf en 1849:

$$W=k(10 * G+F)$$

Donde:

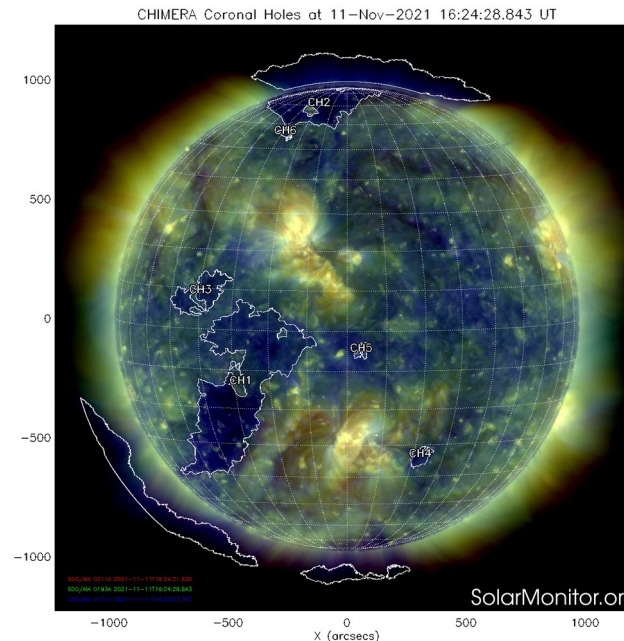
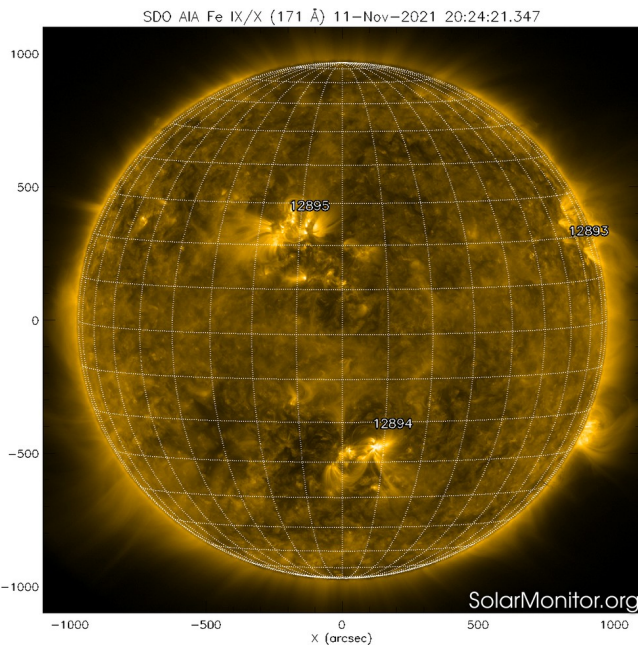
K= Es un factor de corrección que depende de cada observatorio.

F= Cantidad total de manchas solares visibles sobre el disco solar.

G= Cantidad de grupos manchas solares visibles sobre el disco solar.

Número de Wolf máximo esta semana: **56**

Durante esta semana se pudieron observar tres regiones activas en la superficie del Sol. Estas fueron la 2893, 2894 y 2895. Con coordenadas N16W72, S26W11 y N24E09 respectivamente.



Las imágenes al día de hoy, 11 noviembre, muestran 3 regiones activas distribuidas sobre el disco solar.

Además, se observan varios hoyos coronales dispersos por el disco solar. Se aprecia uno particularmente extenso cercano al ecuador solar.

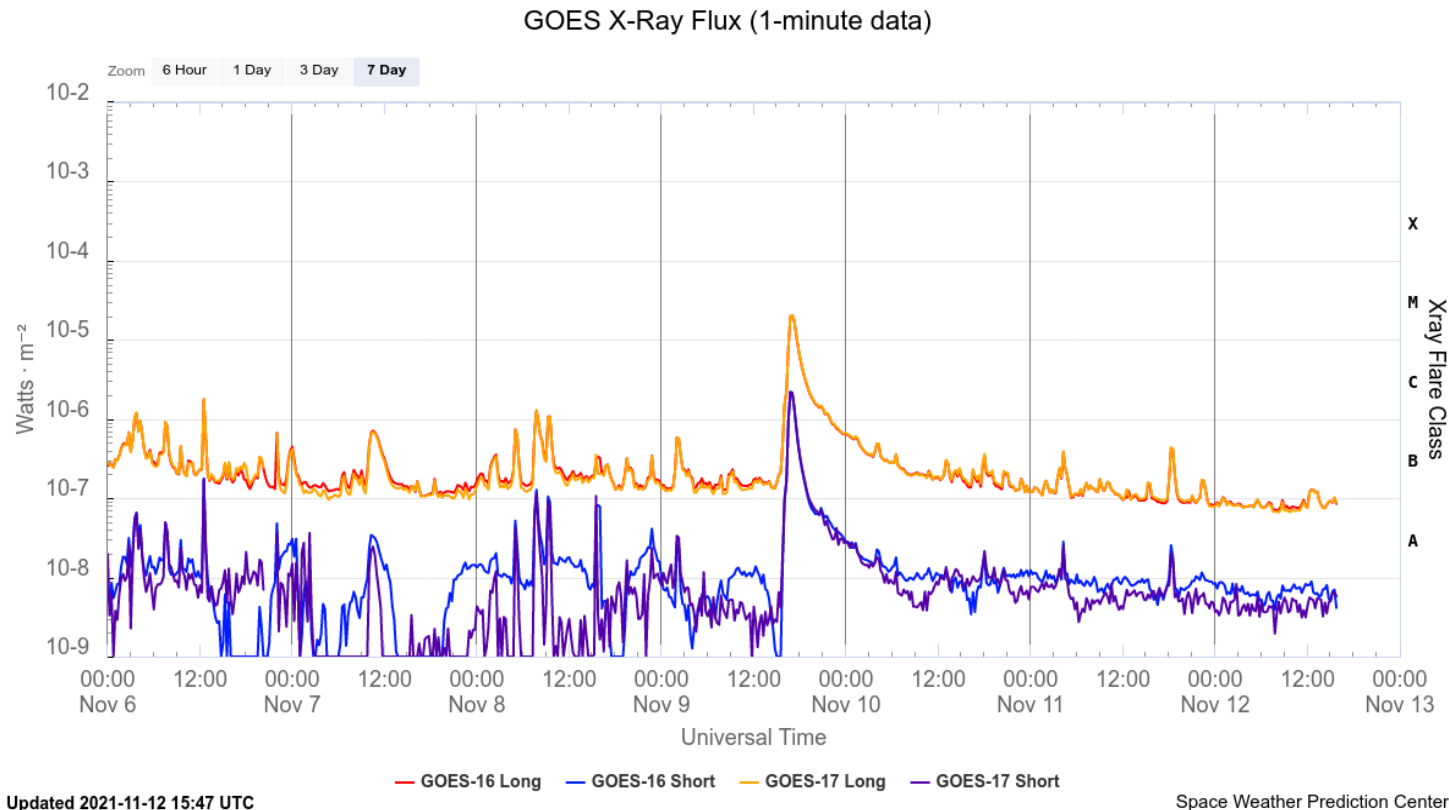
<https://solarmonitor.org>

El Sol visto en distintas longitudes de onda que muestran las diferentes capas solares.

A la izquierda: La atmósfera (corona) solar vista en luz UV emitida por iones de hierro a temperaturas de alrededor de 1,000,000 K. En esta zona se aprecian las regiones activas (zonas claras) que concentran intensos campos que atrapan el plasma solar y son la principal fuente de la actividad solar.

A la derecha: Imagen del disco solar compuesta por diferentes longitudes de onda. La imagen facilita la identificación de hoyos coronales (regiones azul oscuro) que son fuente de campo magnético solar localmente abierto y también son el origen de las corrientes de viento solar rápido

Flujo de rayos X solares detectado por los satélites GOES.

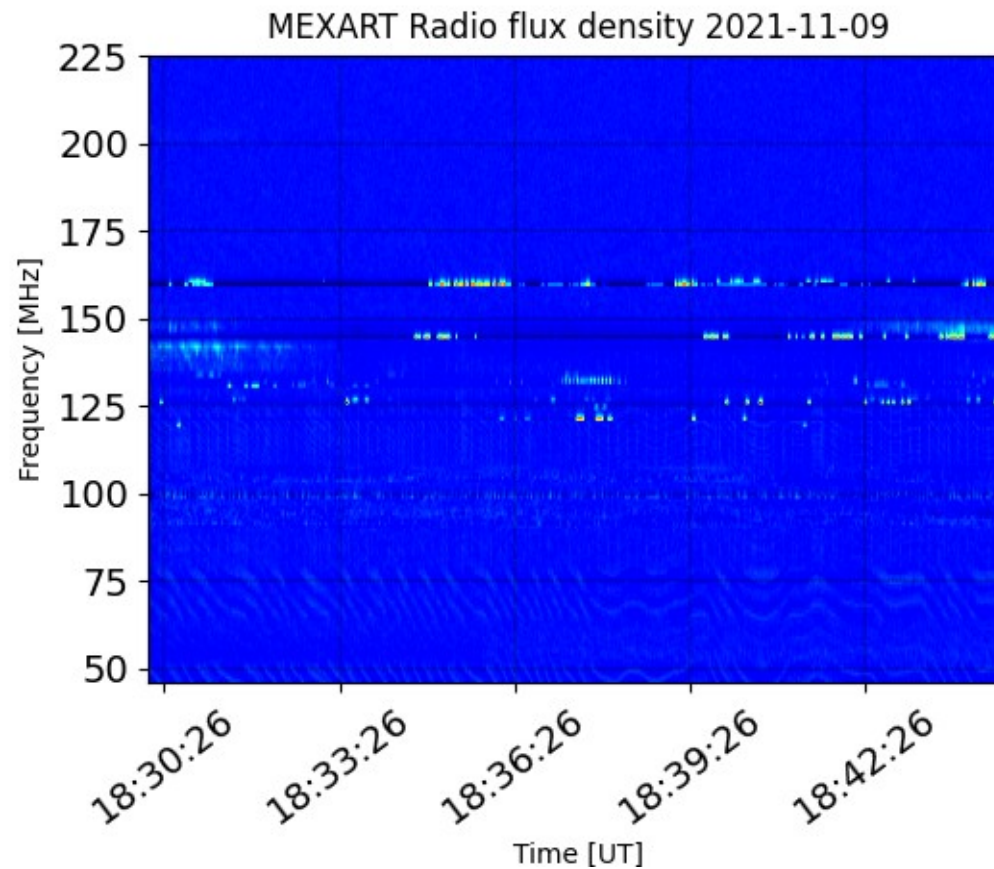


La imagen muestra el flujo de rayos X detectados durante la última semana. Se registró una fulguración clase M2 el 9 de noviembre.

www.swpc.noaa.gov/products/goes-x-ray-flux

Estallidos de radio solares: Observaciones de Callisto-MEXART

Callisto-MEXART no detectó estallidos de radio en esta semana .



<http://www.rice.unam.mx/callisto/lightcurve/2021/11>

Medio interplanetario: El viento solar cercano a la Tierra

Modelo numérico WSA-ENLIL.

Al día de hoy 11 de noviembre de 2021, el modelo pronostica un ambiente solar terrestre con el arribo de corrientes de viento solar promedio con velocidades de aproximadamente 300 km/s, y de viento solar rápido con velocidades de 700 km/s para el día 16 de noviembre. El modelo no pronostica el arribo de ninguna EMC para los próximos días.

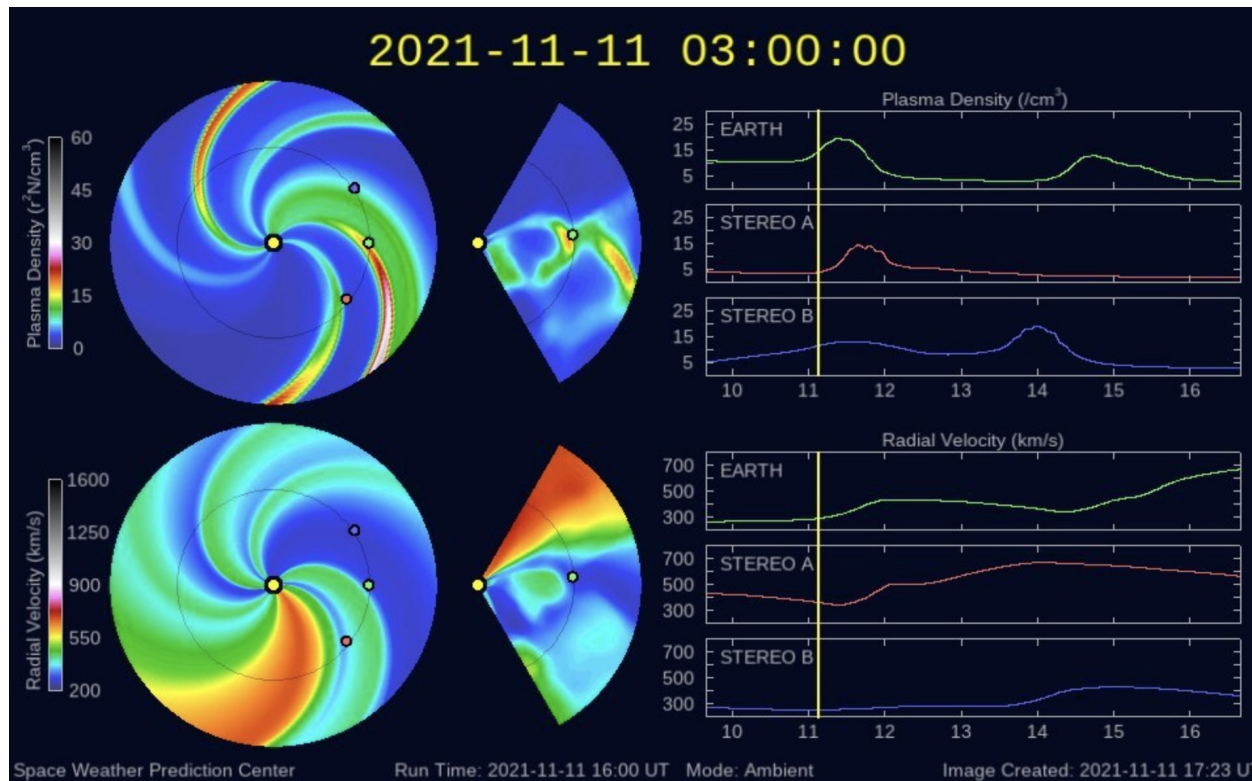


Imagen: <http://www.swpc.noaa.gov/products/wsa-enlil-solar-wind-prediction>

Medio interplanetario: Región de interacción de viento solar

CHIMERA Coronal Holes at 11-Nov-2021 16:24:28.843 UT

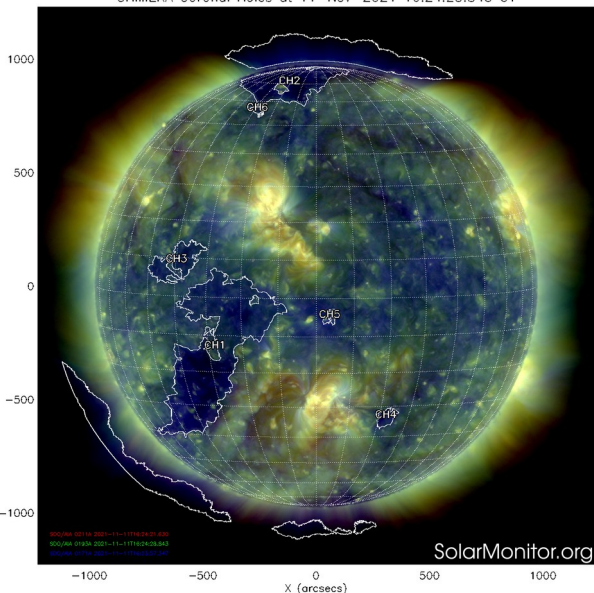


Imagen 1: <https://solarmonitor.org>

Esta semana no se registró región de interacción alguna (ver imagen 3). En la imagen 1 se observa un hoyo coronal ubicado en latitudes bajas que se aproxima al meridiano central el cual puede generar una región de interacción en los próximos días. En la imagen 2 (área sombreada en amarillo) vemos la hoja de corriente heliosférica por arriba del plano de la eclíptica.

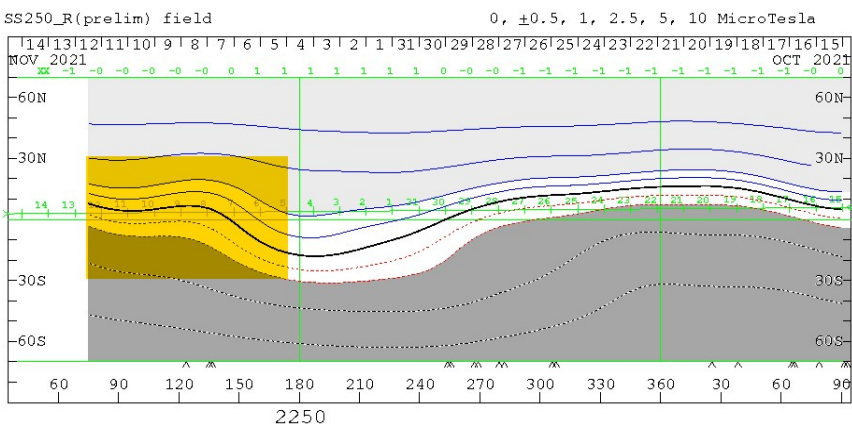


Imagen 2: <http://wso.stanford.edu/SYNOP/>

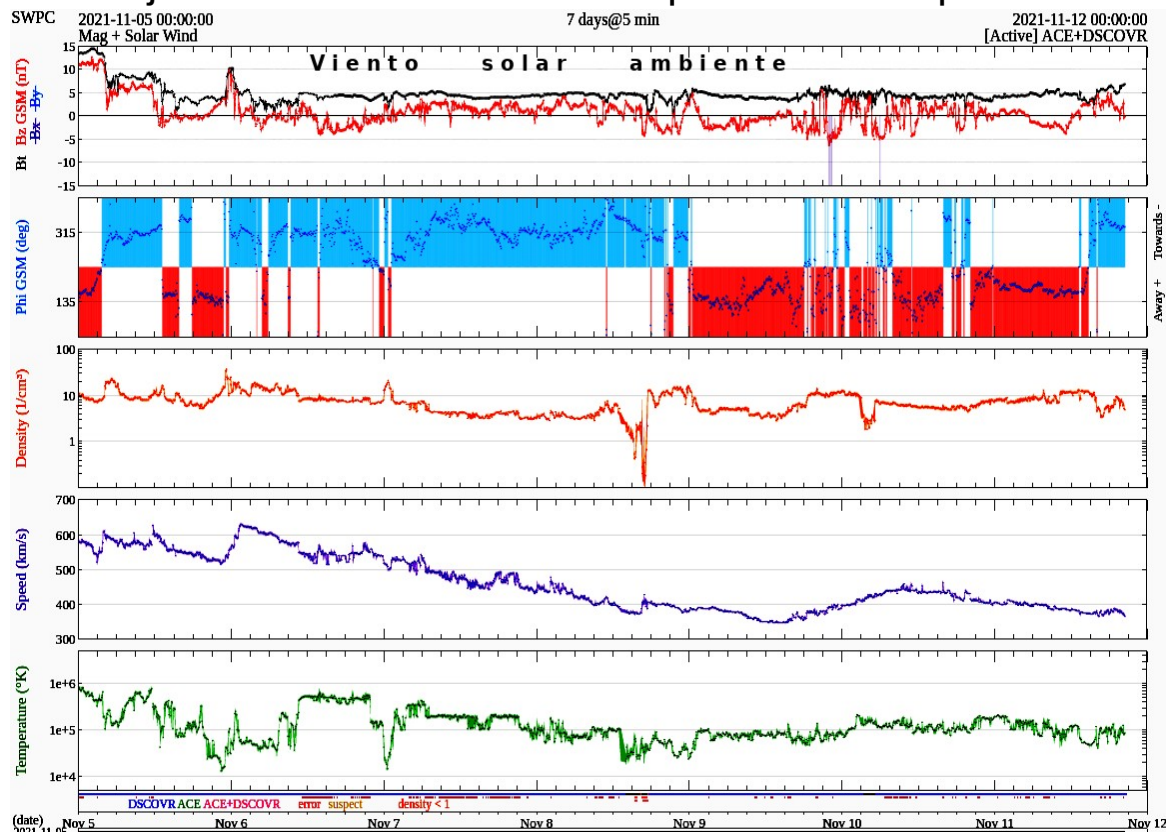


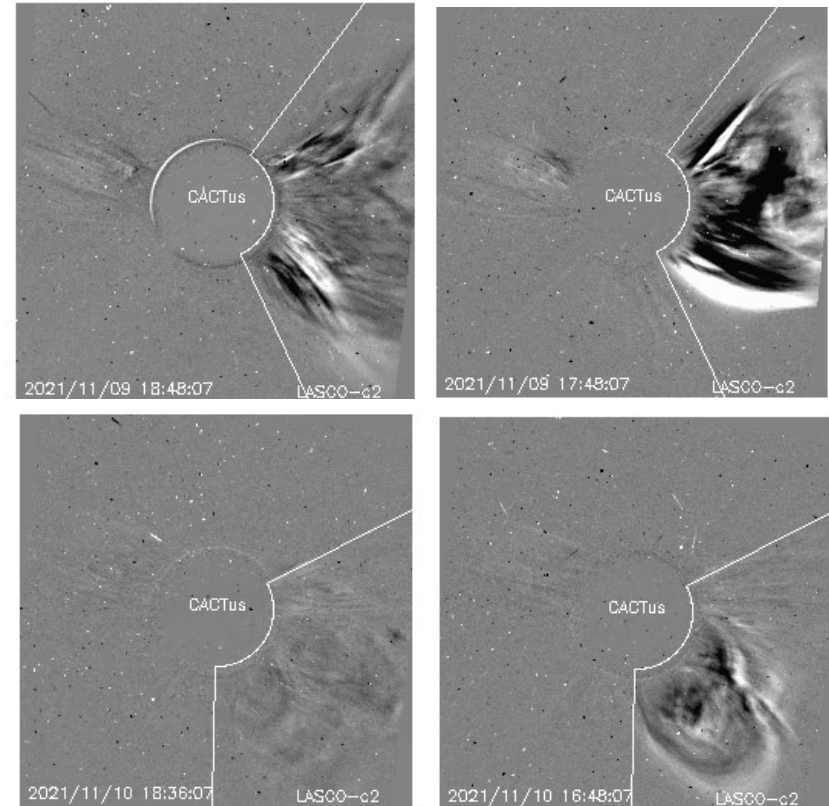
Imagen 3: <http://www.swpc.noaa.gov/products/real-time-solar-wind>

Actividad solar: Eyecciones de Masa Coronal

Mediciones de salida de EMC con aparente dirección a la Tierra.

Fecha, tiempo inicial, velocidad promedio (km/s)

2021/11/09, 16:48,	868
2021/11/09, 17:00,	1109
2021/11/09, 20:12,	262
2021/11/10, 15:16,	331



- Eyecciones observadas por SOHO/LASCO con cálculos del sitio CACTUS.

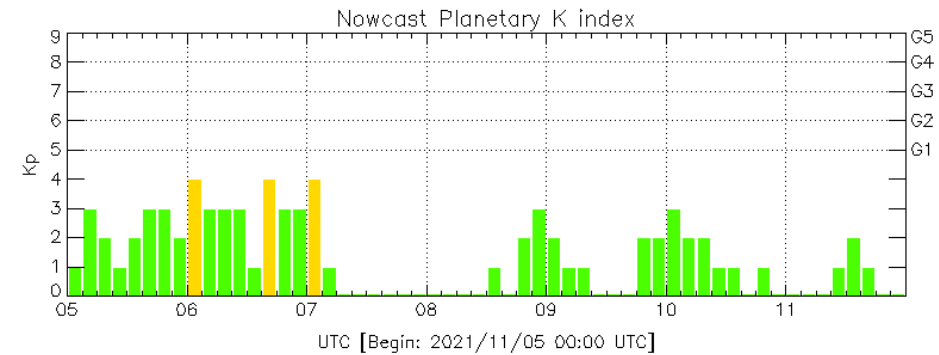
Crédito imágenes y valores estimados:
SOHO, the SOLAR & Heliospheric Observatory
<https://wwwbis.sidc.be/cactus/>

Perturbaciones geomagnéticas: Índices geomagnéticos Kp y Kmex

Fue una semana parcialmente quieta. No se registró actividad geomagnética significativa durante la semana en los índices Kp y Kmex.

NOTA: El cálculo del índice Kmex se realiza por la estación geomagnética de Coeneo, Mich. Los datos son experimentales y no se deben de tomar como definitivos.

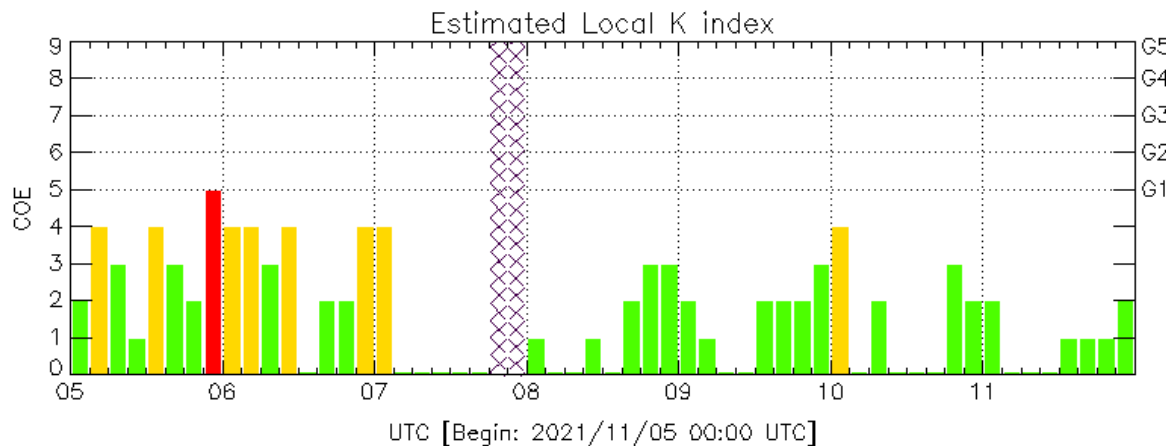
Datps: www.gfz-potsdam.de/en/kp-index/



Color Code: ■ quiet, ■ disturbed, ■ storm, XXXX data not available.

Kp: by GFZ German Research Center for Geosciences
<https://www.gfz-potsdam.de/en/kp-index/>

Updated: 2021/11/11-23:59 UTC



Color Code: ■ quiet, ■ disturbed, ■ storm, XXXX data not available.

COE: Coeneo Geomagnetic Station (LAT 19.81, LON -101.69)
LANC/SCIESMEX - Morelia, Mich., MX

Updated: 2021/11/12-00:59 UTC

El índice K indica la intensidad de las variaciones del campo magnético terrestre en intervalos de 3 horas.

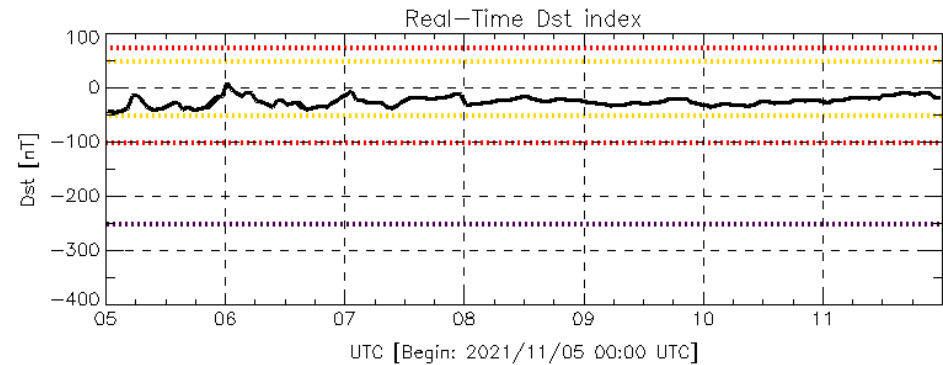
El índice Kp lo expresa a escala planetaria, mientras que el Kmex lo hace para el territorio mexicano.

Perturbaciones geomagnéticas: Índice Dst y ΔH

Fue una semana parcialmente quieta. No se registraron perturbaciones geomagnéticas significativas durante la semana.

NOTA: El cálculo del índice ΔH se realiza por la estación geomagnética de Coeneo, Mich. Los datos son experimentales y no se deben de tomar como definitivos.

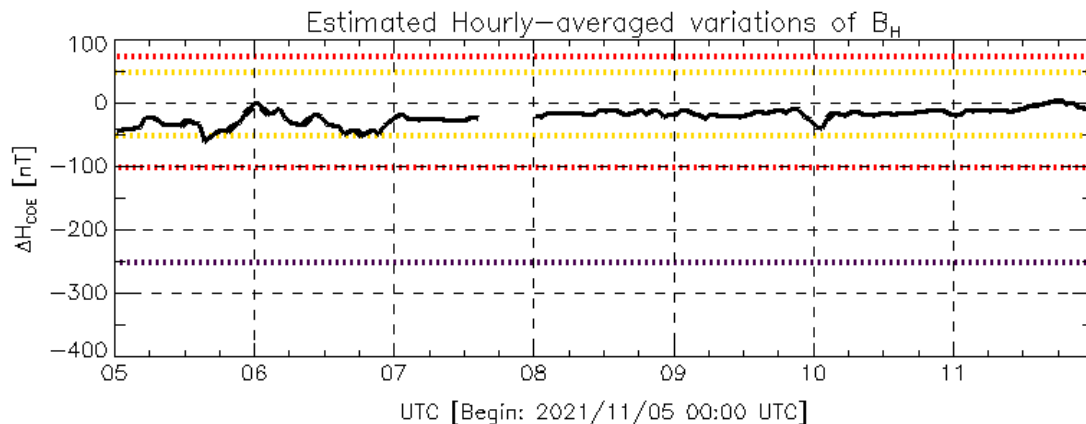
Datos: wdc.kugi.kyoto-u.ac.jp/dst_realtime/



Color Code: weak, moderate, intense, extreme, data not available.

Dst: by World Data Center for Geomagnetism, Kyoto
http://wdc.kugi.kyoto-u.ac.jp/dst_realtime/

Updated: 2021/11/11-23:59 UTC



Color Code: weak, moderate, intense, extreme, data not available.

COE: Coeneo Geomagnetic Station (LAT 19.81, LON -101.69)
LANC/SCIESMEX - Morelia, Mich., MX

Updated: 2021/11/12-00:59 UTC

Los índices Dst y ΔH miden las variaciones temporales de la componente horizontal del campo geomagnético, el primero a escala planetaria y el segundo para México.

Estas variaciones, en general, se deben al ingreso de partículas cargadas, provenientes del espacio exterior, al ambiente espacial terrestre.

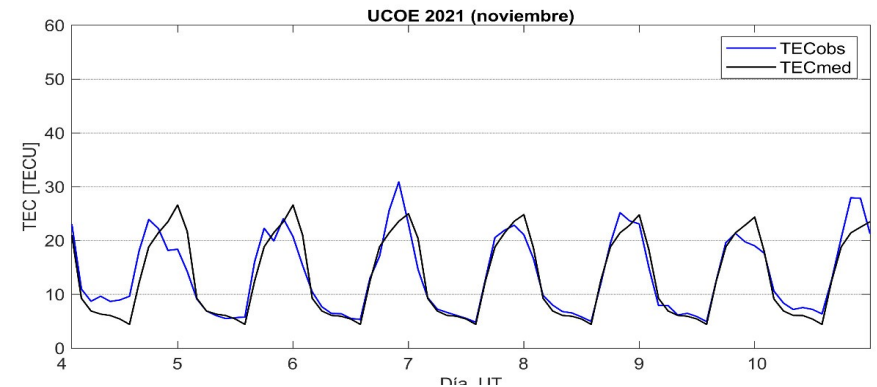
Ionósfera sobre México: TEC en el centro del país

El contenido total de electrones (TEC) es un parámetro que sirve para caracterizar el estado de la ionosfera de la Tierra.

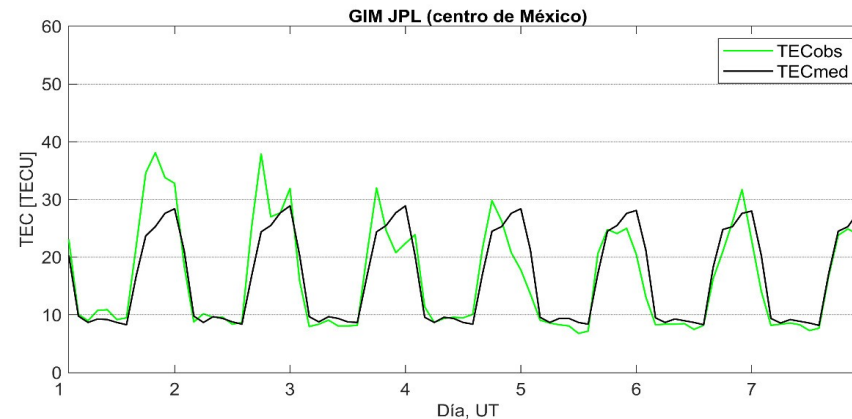
Series temporales de los valores de TEC (TECobs) con referencia a su valor mediano (TECmed):

(1) con base en los datos de la estación local UCOE (TLALOCNet, UNAVCO) ubicada en las instalaciones del MEXART

El cálculo se realiza en base del software "TayAbsTEC" del Instituto de Física Solar-Terrestre, SB RAS. Referencia: Yasyukevich et al., 2015, doi: 10.1134/S001679321506016X.

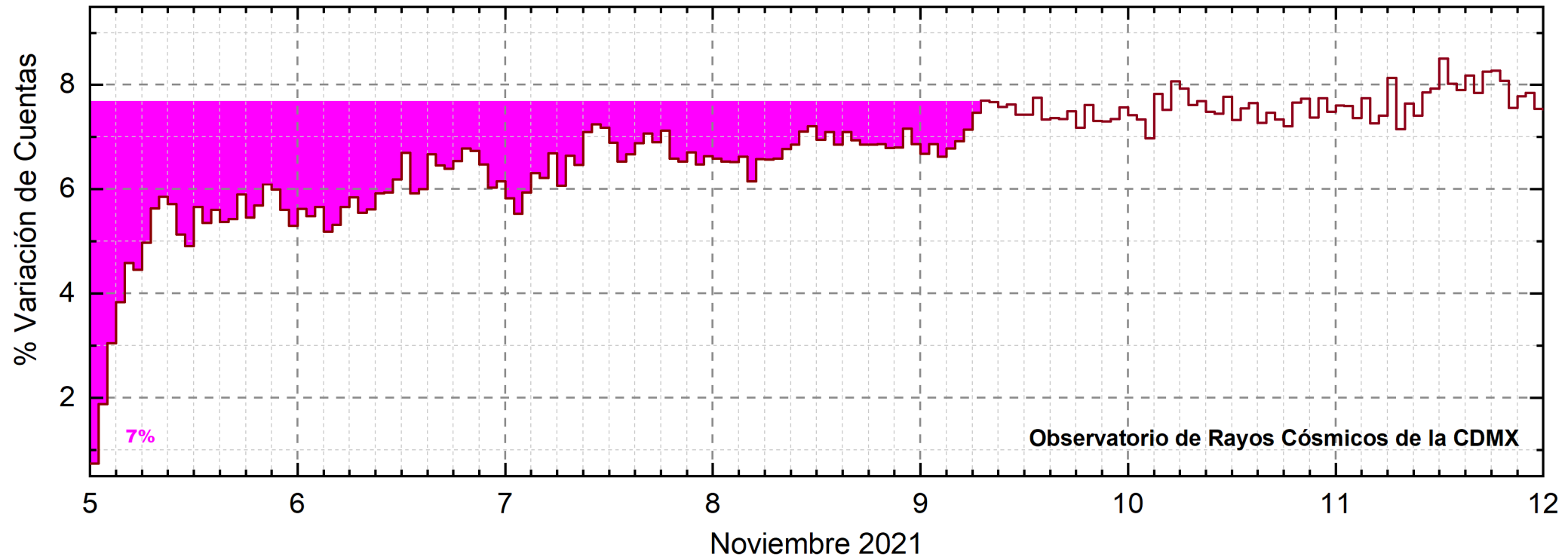


(2) con base de los mapas ionosféricos globales (GIM JPL)



Segun los datos locales, durante esta semana se observaron desviaciones de TEC de su valor mediano. Los datos globales confirman esta tendencia.

Rayos Cósmicos:



<http://www.cosmicrays.unam.mx/>

Datos registrados por el Observatorio de Rayos Cósmicos de la Ciudad de México. En la semana del 05 al 11 de noviembre continuo el registró del “**decrecimiento Forbush**” asociado con la tormenta solar que impactó la Tierra el 03 de noviembre. El área coloreada en magenta representa la afectación por el impacto de la tormenta solar. La caída en el flujo de rayos cósmicos alcanzó un mínimo del 7% a las 00 hrs TU del 05 de noviembre. La fase de afectación terminó el 09 de noviembre a las 07 hrs TU.

UNAM/LANCE/SCIESMEX

Dr. J. Américo González Esparza

Dr. Pedro Corona Romero

Dra. Maria Sergeeva

Dr. Julio C. Mejía Ambriz

Dr. Luis Xavier González Méndez

Dr. José Juan González Avilés

Ing. Ernesto Andrade Mascote

M.C. Pablo Villanueva Hernández

Ing. Adan Espinosa Jiménez

Ing. Juan Luis Godoy Hernández

Dr. Ernesto Aguilar-Rodríguez

Dra. Verónica Ontiveros

Dra. Tania Oyuki Chang Martínez

M.C. Juan José D'Aquino

Dr. Víctor José Gatica Acevedo

M.C. Angela Melgarejo Morales

Isaac David Orrala Legorreta

UNAM ENES-Morelia

Dr. Mario Rodríguez Martínez

Dr. Víctor De la Luz Rodríguez

Lic. Shaden Saray Hernández Anaya

M.C. Raúl Gutiérrez Zalapa

Rafael Zavala Molina

Vanessa Arriaga Contreras

UNAM/PCT

Lic. Elizandro Huipe Domratheva

M.C. Víctor Hugo Méndez Bedolla

M.C. Elsa Sánchez García

M.C. Carlos Arturo Pérez Alanís

UANL/LANCE

Dr. Eduardo Pérez Tijerina

Dr. Enrique Pérez León

Dr. Carlos de Meneses Junior

Dra. Esmeralda Romero Hernández

UNAM/IGF/RAYOS CÓSMICOS

Dr. José Francisco Valdés Galicia

Fis. Alejandro Hurtado Pizano

Ing. Octavio Musalem Clemente

SERVICIO MAGNÉTICO

M.C. Esteban Hernández Quintero

M.C. Gerardo Cifuentes Nava

Dra. Ana Caccavari Garza

CPCET/SAET-IPN

Ing. Julio César Villagrán Orihuela

Miguel Daniel González Arias

Carlos Escamilla León

Jessica Juárez Velarde

Pablo Romero Minchaca

Eric Bañuelos Gordillo

Alfonso Iván Verduzco Torres

Alain Mirón Velázquez

Christian Armando Ayala López

Katia Lisset Ibarra Sánchez

Angel Alfonso Valdovinos Córdoba

Elaboración: Dr. Pedro Corona Romero y equipo SCiESMEX

Revisión: Ernesto Aguilar Rodríguez

Agradecimientos

El Laboratorio Nacional de Clima Espacial (LANCE) es parcialmente financiado por: el programa Cátedras CONACYT Proyecto 1045 y el Fondo Sectorial AEM-CONACYT proyecto 2014-01-247722. Agradecemos al proyecto Conacyt – Repositorio Institucional de Clima Espacial 268273. Agradecemos al proyecto AEM-2018-01-A3-S-63804 del Fondo Sectorial CONACYT-AEM. Agradecemos a todos los responsables y colaboradores de instrumentos del LANCE y a las redes de estaciones GPS del Servicio Sismológico Nacional y TlalocNET por facilitar sus datos. Agradecemos a Gerardo Cifuentes, Esteban Hernández y Ana Caccavari por los datos del Observatorio Magnético de Teoloyucan. De igual forma, agradecemos los servicios de IGS (International GNSS Service) por permitirnos usar los datos IONEX disponibles en: <https://cddis.nasa.gov/archive/gnss/products/ionex>. Los valores de TEC fueron obtenidos a partir de observaciones de las redes GPS del Servicio Sismológico Nacional (SSN), SSN-TLALOCNet y TLALOCNet del Servicio de Geodesia Satelital (SGS). Agradecemos al personal del SSN y del SGS por el mantenimiento de estaciones, la adquisición de datos y el soporte de IT de estas redes. Las operaciones de la red TLALOCNet y SSN-TLALOCNet GPS han sido apoyadas por The National Science Foundation bajo el proyecto EAR-1338091 a UNAVCO Inc., los proyectos CONACyT 253760 y 256012 y los proyectos UNAM-PAPIIT IN109315-3 y IN104818-3 de E. Cabral-Cano y el proyecto UNAM-PAPIIT IN111509 de R. Pérez. De igual forma, agradecemos a los proyectos de infraestructura del CONACyT: 253691 y del PAPIIT-DGAPA: IA107116 para el fortalecimiento de equipos como la estación fija de GPS, que forman parte del LACIGE-UNAM, de la ENES unidad Morelia a cargo de M. Rodríguez-Martínez, El cálculo de TEC se realiza: 1) utilizando el software US-TEC que es un producto de operación del Space Weather Prediction Center (SWPC), desarrollado a través de una colaboración entre National Geodetic Survey, National Oceanic and Atmospheric Administration (NOAA) y el Cooperative Institute for Research in Environmental Sciences of the University of Boulder, Colorado, 2) con base en el software TayAbsTEC del Instituto de Física Solar-Terrestre, sección Siberiana de la Academia de Ciencias Rusa. Parte del procesamiento de datos se lleva a cabo dentro del centro de Supercómputo de Clima Espacial (CESCOM) del LANCE. Así mismo agradecemos al Space Weather Forecasting Center for Astrophysics & Space Research de la University of California in San Diego y al Korean Space Weather Center por los datos de pronóstico para los modelos WSA-ENLIL y los mapas tomográficos por IPS. Agradecemos a la red e-callisto por los datos proporcionados de espectros electromagnéticos dinámicos de la red internacional de registro de eventos de radio solares.

Datos

Imágenes de coronógrafo, flujo de rayos X y modelo WSA-ENLIL:

<http://www.swpc.noaa.gov/products>

<http://iswa.ccmc.gsfc.nasa.gov/IswaSystemWebApp/>

Imágenes de coronógrafo:

<http://sohowww.nascom.nasa.gov/data/>

Imágenes del disco solar y de la fulguración:

<http://www.solarmonitor.org/>

Detección y caracterización de EMCs:

<http://www.sidc.oma.be/cactus/out/latestCMEs.html>

<http://spaceweather.gmu.edu/seeds/>

ISES:

<http://www.spaceweather.org/>

International Network of Solar Radio Spectrometers (e-callisto):

<http://www.e-callisto.org/>

German Research Center For Geosciences Postdam:

<http://www.gfz-potsdam.de/en/sektion/erdmagnetfeld/daten-dienst/e/kp-index/>

Data Analysis Center for Geomagnetism and Space Magnetism, Kyoto University:

<http://wdc.kugi.kyoto-u.ac.jp/index.html>

UNAVCO:

<http://www.unavco.org>

SSN:

<http://www.sismologico.unam.mx/>

SOHO Spacecraft NASA:

<http://sohowww.nascom.nasa.gov/>

SDO Spacecraft NASA:

<http://sdo.gsfc.nasa.gov/>

Space Weather Prediction Center NOAA:

<http://www.swpc.noaa.gov>

GOES Spacecraft NOAA:

<http://www.ngdc.noaa.gov/stp/satellite/goes/index.html>

ACE Spacecraft NOAA

<http://www.srl.caltech.edu/ACE/ASC/index.html>